

東京大学工学部

正員

西野文雄

鋼構造物を經濟的に設計する為には、薄肉断面を採用（下方が有利の場合が多い）、薄肉構造物に関する研究は今後ますます盛んになるものと思われる。肉厚の薄い断面を使用した構造物に荷重が作用する場合、断面変形を許さないで可く、場合によつては断面変形が耐力に影響をおよぼす可能性も存在する。最も簡単な場合として、中心圧縮を受ける柱の全体座屈に就いては断面変形の影響について計算を行つたので、その結果を報告する。

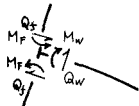
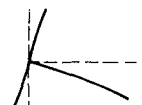
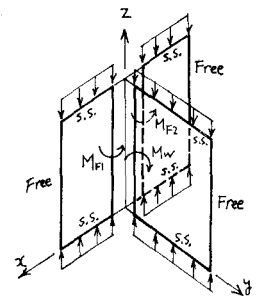
薄肉断面下に使用した柱の崩壊形式とし、全体座屈と局部座屈が存在し、普通には、ふつつの座屈形式はそれ自身独立したものと考えて取り扱われている。全体座屈は断面が変形しないという仮定のもとで取り扱われたものに対し、局部座屈の解析において、2×2×2以上の柱が交わる交線は座屈時に直線を保つと仮定されている。全体座屈あるいは局部座屈の解析の為の仮定は妥当かどうかはあくまでもあるが、座屈する柱に拘束されることはないと想定される。もしこれらの仮定を取り除くと座屈荷重を計算すると、それが独立に求めた座屈荷重値より小さくなる値が得られる事か想像される。

The diagram illustrates a T-shaped column section with various boundary conditions and force distributions. The vertical leg is labeled 'Free' at both ends. The horizontal top flange has two supports: one labeled 'Free' and another labeled 'M_{F1}' with a downward arrow. The horizontal bottom flange has two supports: one labeled 'Free' and another labeled 'M_{F2}' with a downward arrow. The left vertical leg has a support labeled 'M_{H1}' with a downward arrow. The right vertical leg has a support labeled 'M_{H2}' with a downward arrow. Arrows labeled 'S.S.' indicate shear stresses acting on the boundaries. A coordinate system (x, y, z) is shown with the z-axis pointing upwards.

図 1

下側の図は各々の板の4辺の内、フランジとウェブの交線に接する辺に作用してモーメントがせん断力を示す。図2の座屈形ではフランジ端部に作用してせん断力は、左右フランジで大きさ等しく、方向が逆である為釣り合つてからウェブの端部に働くせん断力 Q_w に釣り合つて存在しない。フランジとウェブの交線がたわまない時に直角にはこの Q_w に釣り合う力を外力として作用させなければならぬ。実際にはこの部分が外力は作用していないが、この Q_w はフランジの曲げ剛性によって生じられた釣り合つて以外には、図2の複数座屈形式は考えられない。 Q_w とフランジを曲げに反応する反力を釣り合つてすれば、局部座屈が生じると同時にフランジと平行に働くこのせん断力 Q_w によって断面全体がフランジと平行に移動する、つまり全断面座屈が生じると考えられる。結局、柱の局部座屈と全断面座屈は別々に生じるものではなく、実際は同時に生じる一つの座屈である事がわかる。

図 2



フランジとウェーブの交線が座屈時にたわまないと云う假定を取り除いて座屈荷重を求めるとしても、それを取り扱いは局部座屈の場合と同じであり、ウェーブ板がフランジと接する所でたわみ $w = 0$ の境界条件が、せん断力 Qw とフランジの曲げ剛性が釣り合うと云う条件に変わるものである。フランジの曲げ剛性を EI_f 、フランジに働くてある軸圧縮力を P_f とし、図 1 の座標を使うと、この境界条件は

$$EI_f \frac{\partial^4 w}{\partial z^4} + P_f \frac{\partial^2 w}{\partial z^2} = - D_w \frac{\partial}{\partial y} \left[\frac{\partial^2 w}{\partial y^2} + (2 - v) \frac{\partial^2 w}{\partial z^2} \right]$$

と表わされる。ここに D_w はウェーブ板の板としての曲げ剛性である。

ウェーブ板の境界条件の内、フランジとの交線で $w = 0$ のかわりに上式を使って T 形柱について座屈応力を計算した例を図 3 に示す。計算を動かさうにあたって、ウェーブ板、フランジ板共に柱軸方向の座屈波形は正弦波と表わせると假定し、たわみ波形は次式によつて表わせることとした。

$$w = W(y) \times \sin \frac{\pi}{L} z$$

ここで $W(y)$ は y のみの関数を表す。しは両端がこの柱の長さである。図 3 中の 2 つの実線は局部座屈応力と半波長の長さと柱の実体を示す曲線。柱を柱として曲げとねじれの連成座屈を考慮場合の座屈曲線を示す。実線はこの報告で取り扱つてある全體座屈と局部座屈が同時に生じる場合の座屈曲線である。図 4 は H 形柱に関する同じく称する座屈曲線である。図中実線で示す 2 つの曲線は H 形柱の局部座屈曲線と 1/2 弱軸回りに座屈する場合のオイラー曲線である。実線は全體座屈と局部座屈が同時に生じる場合の座屈曲線である。図 4 の 3 つの曲線はいずれも柱全長が半波長に座屈する場合と假定して求めたものである。実際には柱は半波長 2 倍に座屈する場合か座屈荷重が小さければ、半波長 2 倍に、同様に場合 1: よつては 3 半波長、4 半波長にも座屈する。この様子は板の座屈に見られるものと全く同様である。2 半波長に座屈する場合の座屈荷重は長さ半分の柱の座屈荷重と同じである事を考へよ。図 4 の柱の場合実際には局部座屈荷重よりは柱としての座屈荷重の内へ小 1/2 方の荷重で座屈するべきとしても大きな差はない事がわかる。図 3 の T 形柱の場合も同様であり、この程度の薄肉断面柱の座屈では座屈時の断面変形が全體座屈に及ぼす影響はほとんどの無視しえると思われる。同様に局部座屈における全體座屈の影響も小さく、計算に使用して断面に関するばかり問題とはならない様である。

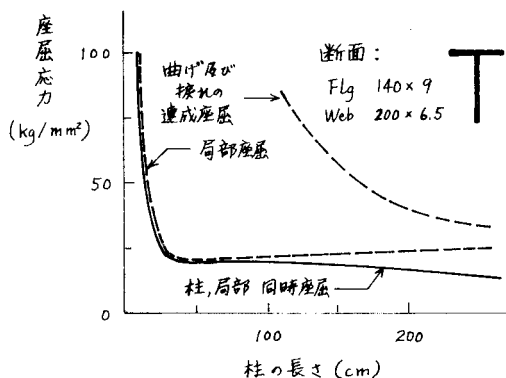


図 3

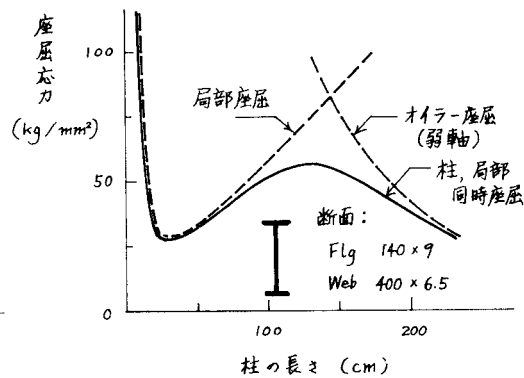


図 4